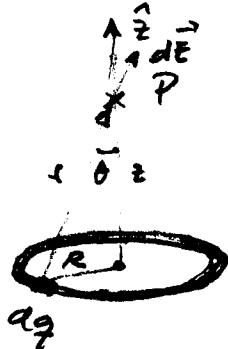


Anel carregado uniformemente: campo em um ponto P situado sobre um eixo (\hat{z}) b² ao plano do anel, passando pelo centro do anel.



$$\text{Raio do anel} = R.$$

$$\text{Comprimento do anel} = 2\pi R$$

$$\text{Carga total do anel é } Q.$$

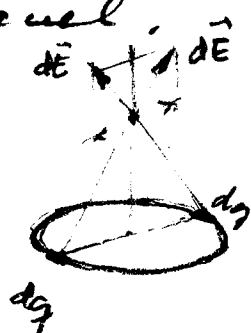
$$\lambda = \text{densidade linear de carga do anel}$$

$$\lambda = \frac{Q}{2\pi R}$$

Se o anel é uniformemente carregado $\Rightarrow \lambda = \underline{\text{cte}}$.

A contribuição para o campo elétrico total devida a um elemento de carga dq é $d\vec{E} = k \frac{dq}{r^2} \hat{r}$.

Por simetria é evidente que o campo total deve estar ao longo do eixo \hat{z} pois, para cada elemento dq existe um outro, diametralmente oposto que contribui com o mesmo valor de $|d\vec{E}|$ porém com direção e sentido que cancela a componente b² ao plano do anel.



A componente ao longo de \hat{z} da contribuição é

$$dE_z = |d\vec{E}| \cos \theta = \frac{k dq}{r^2} \cos \theta$$

Temos que somar sobre todos os elementos infinitesimais de carga que compõem o anel.

$$E_z = \int dE_z = \int \frac{k dq}{r^2} \cos\theta$$

Note que, nesse caso, a soma é muito simples
pois ao variar dq , nem $r = |\vec{r}'|$ nem $\cos\theta$
variaram. Sendo assim, podemos coloca-las
em evidência e o resultado é:

$$E_z = \frac{k}{r^2} \cos\theta \int dq = \frac{kQ \cos\theta}{r^2}$$

$$\vec{E} = E_z \hat{z} = \frac{kQ \cos\theta}{r^2} z \hat{z}$$

$$\cos\theta = z/r \Rightarrow \vec{E} = \frac{kQ}{r^3} z \hat{z}$$

$$r = \sqrt{z^2 + R^2} \Rightarrow \boxed{\vec{E} = \frac{kQ}{(z^2 + R^2)^{3/2}} z \hat{z}}$$

Em termos da densidade de carga λ

$$\lambda = \frac{Q}{2\pi R} \Leftrightarrow Q = \pi R \lambda \Rightarrow$$

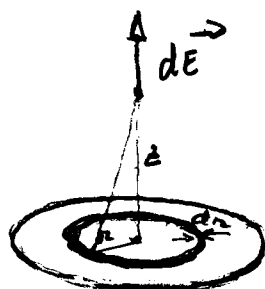
$$\boxed{\vec{E} = \frac{k \lambda 2\pi R z \hat{z}}{(z^2 + R^2)^{3/2}}}$$

$$k = \frac{1}{4\pi \epsilon_0}$$

Disco uniformemente carregado. Campo em um ponto P situado sobre o eixo \hat{z} b.
ao plano do disco, passando pelo seu centro.

Disco de raio R e carga total Q .

"Macete": Divide o disco em anéis



Um anel de raio r tem
carga dq .

Densidade superficial da carga do disco $\sigma = \frac{Q}{\pi R^2}$

Disco uniformemente carregado $\Leftrightarrow \sigma = \underline{cte}$.

O anel de raio r tem área

$$dq = \sigma dS = \sigma 2\pi r dr$$

$$\underbrace{2\pi r dr}_{2\pi r}$$

$$d\vec{E} = k \frac{dq}{(r^2 + z^2)^{3/2}} \hat{z} = k \frac{6\pi r \sigma dr}{(r^2 + z^2)^{3/2}} \hat{z}$$

$$\vec{E} = \int d\vec{E} = \int k \sigma 2\pi r \frac{dr}{(r^2 + z^2)^{3/2}} \hat{z}$$

soma sobre todo os anéis que compõem o disco

Note que, ao variar r ($k, \sigma, 2\pi, z$ são cts) \Rightarrow

$$\vec{E} = k \sigma 2\pi z \hat{z} \int_0^R \frac{r dr}{(r^2 + z^2)^{3/2}}$$

Com $r = \text{cte}$ chama-se $u = z^2 + r^2 \Rightarrow du = 2zdr$

$$\Rightarrow \vec{E} = k\sigma \bar{n} z \hat{z} \int_{z^2}^{z^2 + R^2} \frac{du}{u^{3/2}} =$$

$$= k\sigma \bar{n} z \hat{z} \left. \frac{\frac{u^{-1/2}}{-1/2+1}}{-1/2+1} \right|_{z^2}^{z^2 + R^2} = k\sigma \bar{n} z \hat{z} (-) 2 \bar{u}^{-1/2}$$

$$-3/2+1 = -1/2$$

$$\vec{E} = 2k\sigma \bar{n} z \hat{z} \left[\frac{1}{z} - \frac{1}{(z^2 + R^2)^{1/2}} \right] = 2k\sigma \bar{n} z \hat{z} \left[1 - \frac{z}{(z^2 + R^2)^{1/2}} \right]$$

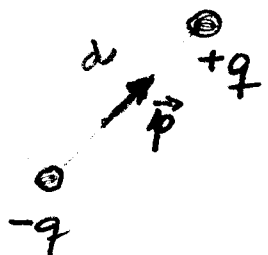
$$\vec{E} = \epsilon_0 \bar{n} \sigma \left[1 - \frac{z}{(z^2 + R^2)^{1/2}} \right] \hat{z}$$

$$\vec{E} = \frac{1}{2\epsilon_0} \left[1 - \frac{z}{(z^2 + R^2)^{1/2}} \right] \hat{z}$$

$$k = \frac{1}{4\pi\epsilon_0}$$

Façam os exercícios 5 e 6.

Dipolo em um campo elétrico

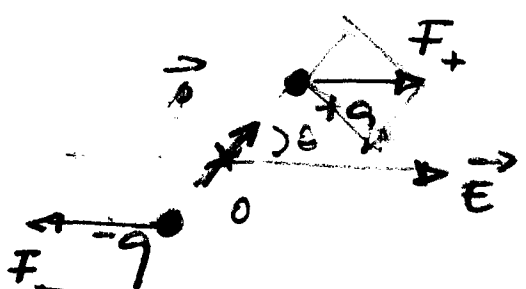


momento do dipolo elétrico

$$p = qd \quad \text{Convenção-se}$$

que a direção de \vec{p} é a reta que une as duas cargas e o sentido de $-q$ para $+q$.

Supõe que um campo elétrico externo \vec{E} , uniforme, é aplicado, tal que \vec{E} faça um ângulo θ com \vec{p} .



As forças $\vec{F} = q\vec{E}$
sobre cada um dos
cargas estão representadas
na figura.

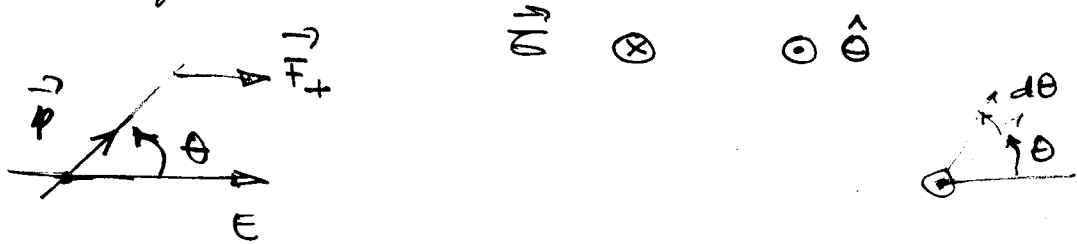
\vec{F}_+ e \vec{F}_- têm mesmos módulos, mesma direção
e sentidos opostos. A força resultante sobre
o dipolo (composta pelas duas cargas) é
nula. Entretanto, elas formam um binário,
de modo que o dipolo irá girar em torno
de um eixo fixo no plano do papel. O
torque devido a F_+ e F_- é dado por

$$\tau = 2qd \sin \theta \cdot \frac{d}{2} = pd \sin \theta \Rightarrow$$

$$|F_+| = |F_-| = qE = F \quad ; \quad p = qd$$

$$\vec{\sigma} = \vec{p} \wedge \vec{E}$$

Note que o torque tende a alinhar o dipolo \vec{p} na direção do campo \vec{E} .



O trabalho realizado pelo campo faz girar o dipolo de um ângulo θ

$$\omega = \int_{\theta_0}^{\theta} \vec{\sigma} \cdot d\vec{\theta} = - \int_{\theta_0}^{\theta} \tau d\theta = - \int_{\theta_0}^{\theta} 2Es \sin \theta d\theta$$

$$\omega = pE \cos \theta \Big|_{\theta_0}^{\theta} = pE [\cos \theta - \cos \theta_0]$$

Energia potencial $U(\theta) - U(\theta_0) = -\omega = -pE \cos \theta \Big|_{\theta_0}^{\theta}$

$$\boxed{U = -pE \cos \theta}$$

$$-pE [\cos \theta - \cos \theta_0]$$

$$U(\theta_0=90^\circ) = 0$$

$$\underline{U(\theta) = -pE \cos \theta}$$

Escolha de zero de energia potencial.

Funcionamento do micro-ondas

Ajus é uma molécula polar

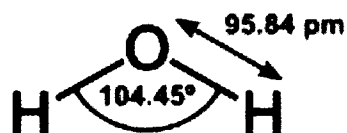
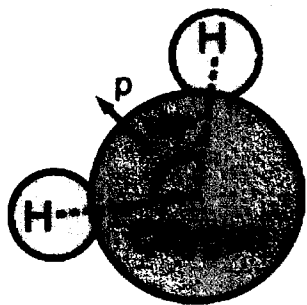
Campo elétrico do micro-ondas é oscilatório (depende do tempo), interage com o momento de dipolo elétrico da molécula d'ajus.

O torque provoca oscilações nas moléculas d'ajus e as colisões com as outras provoca o aquecimento. Frequência típica do campo de micro-ondas utilizado

$$f \approx 2.5 \text{ GHz}$$

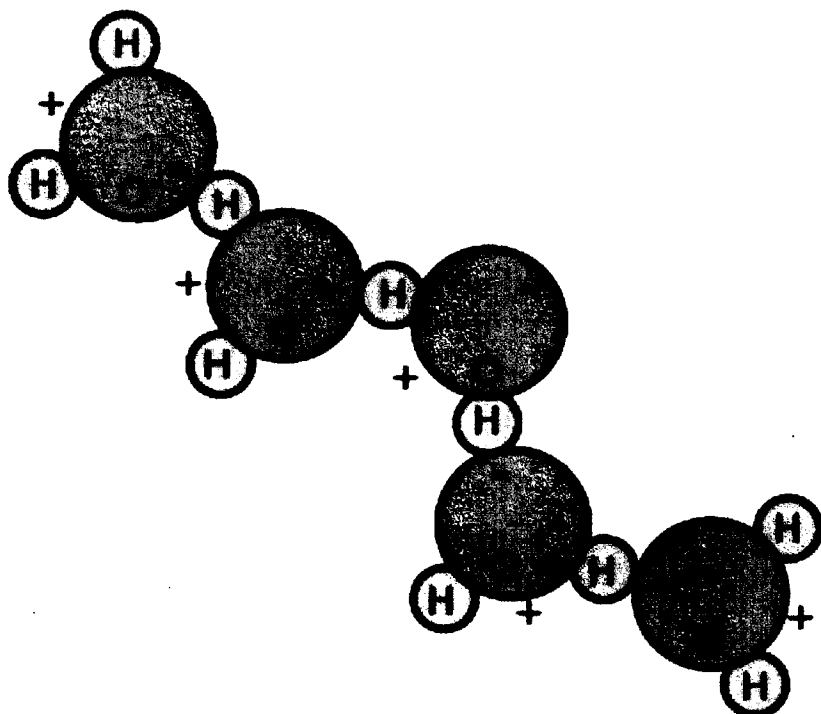
3.8

H₂O momento de dipolo elétrico



$$\begin{aligned} p_{H_2O} &= 6.17 \times 10^{-30} C \cdot m = 1.85 \text{ debye.} \\ 1 d &= 3.33 \times 10^{-30} C \cdot m \end{aligned}$$

$$p = 6.2 \times 10^{-30} C \cdot m$$



Quando se coloca certos objetos metálicos em um micro-ondas ocorrem faíscas.

Entretanto, o interior do micro-ondas é metálico!

